

На фиг. 3 приведены штриховые кривые, определённые по соотношениям (10). Довольно хорошее их совпадение с экспериментальными кривыми подтверждает приемлемость (10) для описания монотонного нагружения малой кривизны рассматриваемого материала. Заметим, что указанные выше соотношения с несимметричной матрицей приводят почти к таким же теоретическим кривым, т. е.  $\epsilon_{11}'$  и  $\epsilon_{22}'$  оказываются приемлемыми, но за счёт изменения  $\epsilon_{12}'$  получаются другие значения  $\epsilon_{22}$ , не описывающие поперечный эффект.

Таким образом, более полное выделение особенностей данного класса материалов и их предварительный учет позволили ограничиться в соотношениях (10) одной материальной функцией только одного переменного. Обобщение (10) на случай трехосного растяжения, к которому приводятся любые  $\sigma_{ij}$ , не представляет большого труда и здесь не рассматривается. Только в этом случае появится еще одна функция одной переменной  $A_1(w)$ . Также нетрудно обобщить (10) на случай неоднаправленных композитов.

Несвойственная ортотропному телу структура соотношений (10) есть следствие выделения характерных особенностей сильно анизотропного тела. Для слабо анизотропных тел присутствие добавочных членов в (10) не помешает: их влияние автоматически станет малым и нет необходимости при численном расчете заранее пренебрегать ими. В общих же определяющих соотношениях такие особенности скрыты в оставляемых в неопределенном виде материальных функциях многих переменных.

#### СПИСОК ЛИТЕРАТУРЫ

1. *Ильюшин А. А.* Пластичность. М.; Л: Гостехиздат, 1948. 376 с.
2. *Atijima. S., Adachi T.* Nonlinear stress-strain response of laminated composites. J. Compos. Mater. 1979. V. 13. P. 206–218.
3. *Лурье А. И.* Нелинейная теория упругости. М.: Наука, 1980. 512 с.
4. *Малмейстер А. К., Тамуж В. П., Терерс Г. А.* Сопротивление полимерных и композиционных материалов. Рига: Зинатне, 1980. 571 с.

Москва

Поступила в редакцию  
17.II.1987

УДК 624.072.4

Е. Д. ФОГИНИЧ

#### СВИВКА — КРАЙНЯЯ ФОРМА РАВНОВЕСИЯ ИЗОГНУТО-ЗАКРУЧЕННОГО СТЕРЖНЯ

Рассматривается так называемая свивка — простейшее, но типичное образование, характерное для нитей, шнуров, проводов и вообще стержневых систем с малой, но не исчезающей, жесткостью на изгиб и кручение.

В настоящей заметке определяются изгибающий и крутящий моменты, внутренние и контактные силы и угол свивки. Установлено, что определяющим параметром является отношение жесткости на изгиб к жесткости на кручение.

На некоторой длине  $L$  (фиг. 1) будем рассматривать свивку как однородное образование, состоящее из двух винтообразно искривленных жил, соприкасающихся по прямой  $H-H$ , которую будем называть осью свивки. За пределами отрезка  $L$  условия равномерного и плотного контакта между жилами нарушаются. Возникают зазоры и контактные сосредоточенные силы, расположение и величина которых зависят от размеров петли (справа) и от условий входа стержня в свивку (слева). В этом отношении свивка напоминает заключенный в трубу сжатый стержень (см. [1]).

Мысленно рассечем свивку плоскостью, перпендикулярной ее оси (фиг. 2) и введем систему самоуравновешенных моментов  $M_1, M_2$  и сил  $Q_2$ .

Так как к петле никаких внешних сил не приложено, то

$$M_1 = Q_2 R \quad (1)$$

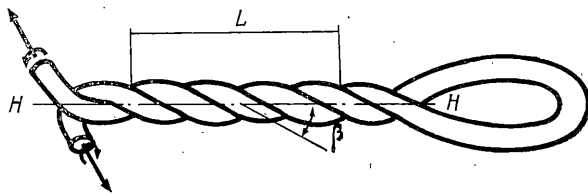
где  $R$  — радиус поперечного сечения. Моменты  $M_1$  и  $M_2$  не являются ни крутящими, ни изгибающими, поскольку сечение перпендикулярно оси свивки, но не осям жил. Оси жил представляют собой две винтовые линии, расположенные на поверхности образующего цилиндра радиуса  $R$  (фиг. 3). На этом же рисунке показаны моменты  $M_1$  и  $M_2$ , сила  $Q_2$  и усилия контактного взаимодействия  $q$ .

В двух произвольных точках винтовой линии  $O$  и  $A$  введем системы осей  $1', 2', 3'$  и  $1, 2, 3$  (фиг. 3). Оси  $1$  и  $1'$  направлены вдоль оси свивки, оси  $2, 2'$  — по касательной, а  $3, 3'$  — соответственно по нормали к поверхности образующего цилиндра.

Так как точки  $O$  и  $A$  равноправны, составляющие моменты и силы для осей  $1', 2', 3'$  должны быть такими же, что и для осей  $1, 2, 3$ :

$$Q_1' = 0, \quad Q_2' = Q_2, \quad Q_3' = 0 \quad (2)$$

$$M_1' = M_1, \quad M_2' = M_2, \quad M_3' = 0 \quad (3)$$



Фиг. 1

С другой стороны, левые части этих равенств могут быть вычислены с помощью условий равновесия:

$$Q_1' = 0, \quad Q_2' = Q_2 \cos \varphi + \int_0^x q \sin(\varphi - \psi) d\zeta$$

$$Q_3' = -Q_2 \sin \varphi + \int_0^x q \cos(\varphi - \psi) d\zeta$$

Будем считать, что усилие контактного взаимодействия  $q$  от координаты  $x$ , а следовательно и от углов  $\alpha$  и  $\psi$ , не зависит.

Так как  $\zeta = R\psi \operatorname{ctg} \beta$ , а  $d\zeta = R \operatorname{ctg} \beta d\psi$ , интегрирование по  $\zeta$  заменяется интегрированием по  $\psi$  от нуля до  $\varphi$ . Тогда

$$Q_2' = Q_2 \cos \varphi + qR \operatorname{ctg} \beta (1 - \cos \varphi), \quad Q_3' = -Q_2 \sin \varphi + qR \operatorname{ctg} \beta \sin \varphi$$

Таким образом, первое из условий (2) выполняется тождественно, при любых  $Q_2$  и  $q$ , а из двух других следует

$$Q_2 = qR \operatorname{ctg} \beta. \quad (4)$$

Аналогичным образом поступают и с условиями (3). Воспользовавшись условиями равновесия, получим

$$M_1' = M_1 - Q_2 R (1 - \cos \varphi) + \int_0^x qR \sin(\varphi - \psi) d\zeta$$

$$M_2' = M_2 \cos \varphi + Q_2 x \sin \varphi - \int_0^x q(x - \zeta) \cos(\varphi - \psi) d\zeta$$

$$M_3' = M_2 \sin \varphi - Q_2 x \cos \varphi - \int_0^x q(x - \zeta) \sin(\varphi - \psi) d\zeta$$

После интегрирования будем иметь

$$M_1' = M_1 - Q_2 R (1 - \cos \varphi) + qR^2 \operatorname{ctg} \beta (1 - \cos \varphi)$$

$$M_2' = M_2 \cos \varphi + Q_2 x \sin \varphi - qR \operatorname{ctg} \beta [x \sin \varphi - R \operatorname{ctg} \beta (1 - \cos \varphi)]$$

$$M_3' = M_2 \sin \varphi - Q_2 x \cos \varphi - qR \operatorname{ctg} \beta [R \operatorname{ctg} \beta \sin \varphi - x \cos \varphi]$$

Теперь заметим, что условия (3) удовлетворяются независимо от  $x$  и  $\varphi$ , если к найденному соотношению (4) присоединить следующее:

$$M_2 = qR^2 \operatorname{ctg}^2 \beta \quad (5)$$

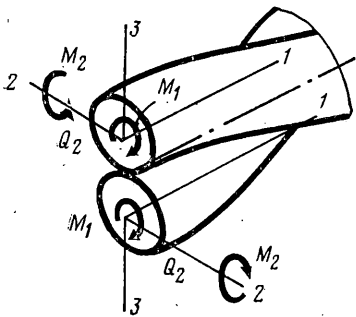
От сечения, нормального к оси свивки, перейдем к сечениям, нормальным к оси жилы, и найдем крутящий и изгибающий моменты, а также нормальную и поперечную силы

$$M_t = M_1 \cos \beta + M_2 \sin \beta, \quad M_b = M_2 \cos \beta - M_1 \sin \beta, \quad N = Q_2 \sin \beta, \quad Q = Q_2 \cos \beta$$

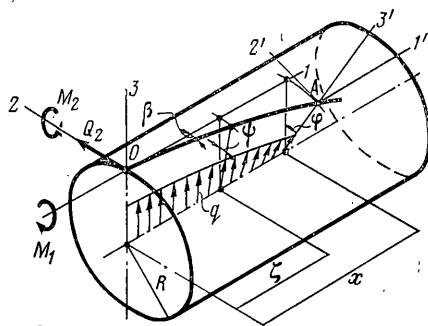
Воспользовавшись соотношениями (1), (4) и (5), получим

$$M_t = 2q_0 R^2 \operatorname{ctg} \beta, \quad M_b = q_0 R^2 (\operatorname{ctg}^2 \beta - 1), \quad Q = q_0 R \operatorname{ctg} \beta, \quad N = q_0 R \quad (6)$$

где  $q_0$  — контактная нагрузка, сдвинутая по линии ее действия к осевой линии жилы. Осевая линия жилы длиннее, чем ось свивки, и соответственно  $q_0 = q \cos \beta$ . Изгибаю-



Фиг. 2



Фиг. 3

тый момент пропорционален изменению кривизны, а крутящий — изменению крутки. Поскольку до свивки стержень был прямым, то

$$M_t = GI_p \sin \beta \cos \beta / R, \quad M_b = EI \sin^2 \beta / R \quad (7)$$

Здесь  $EI$  — жесткость на изгиб,  $GI_p$  — жесткость на кручение,  $\sin^2 \beta / R$  — кривизна винтовой линии, а  $\sin \beta \cos \beta / R$  — ее крутка.

Подставляем сюда  $M_t$  и  $M_b$  из (6) и исключая  $q_0$ , получим

$$\operatorname{ctg} \beta = (2e+1)^{1/2} \quad (8)$$

где  $e = EI/GI_p$ . Для сплошного или трубчатого кругового сечения  $e = 1 + \mu$  ( $\mu$  — коэффициент Пуассона). Если  $\mu = 0,5$ , то  $\beta = 26,6^\circ$ . Подставляя  $\beta$  из (8) в выражения (7) и (6), находим

$$M_t = GI_p (2R)^{-1} (2e+1)^{1/2} (e+1)^{-1}, \quad M_b = EI (2R)^{-1} (e+1)^{-1}$$

$$q_0 = GI_p (4R^3)^{-1} (e+1)^{-1}, \quad N = GI_p (4R^2)^{-1} (e+1)^{-1}$$

$$Q = GI_p (4R)^{-1} (2e+1)^{1/2} (e+1)^{-1}$$

Полученные соотношения отличаются простотой, а формула (8) находит количественное подтверждение в простейшем эксперименте с резиновым шнуром, имеющим сплошное сечение.

В заключение следует отметить, что из-за соизмеримости размеров поперечного сечения и радиуса кривизны упругой линии, напряжения в свивке будут иметь порядок модуля упругости. Поэтому полученные соотношения для материалов типа стали оказываются неприемлемыми.

#### СПИСОК ЛИТЕРАТУРЫ

1. Феодосьев В. И. О стесненном продольном изгибе упругого стержня // Изв. АН СССР. МТТ. 1987. № 3. С. 176–179.

Москва

Поступила в редакцию  
9.XII.1987